

การตรวจสอบสภาพอุปกรณ์ไฟฟ้าแรงสูงด้วยกระแสรั่วไฟฟ้า

Monitoring of High Voltage Equipment by using Leakage Current

ช่อพก แพลงประพันธ์¹⁾ และ ณัฐพงศ์ ตัมทวนชัย²⁾

Chorphaka Plaengpraphan¹⁾ and Nutthaphong Tanthanuch²⁾

¹⁾ โครงการหลักสูตรนวัตกรรมทางวิศวกรรมศาสตร์ คณะวิศวกรรมศาสตร์ มหาวิทยาลัยธรรมศาสตร์ จังหวัดปทุมธานี 12120

²⁾ ภาควิชาวิศวกรรมไฟฟ้าและคอมพิวเตอร์ คณะวิศวกรรมศาสตร์ มหาวิทยาลัยธรรมศาสตร์ จังหวัดปทุมธานี 12120

บทคัดย่อ

เนื่องจากเสถียรภาพและความน่าเชื่อถือของระบบไฟฟ้าเป็นสิ่งสำคัญ ดังนั้นเพื่อให้อุปกรณ์ไฟฟ้าแรงสูงที่ติดตั้งในระบบไฟฟ้ากำลังรวมถึงระบบส่งจ่ายไฟฟ้ากำลังทำงานได้อย่างถูกต้องและมีความน่าเชื่อถือ การตรวจสอบความเสื่อมสภาพของอุปกรณ์ไฟฟ้าแรงสูงมีหลายวิธี เช่น การทดสอบแรงดันเต็ร์จ การทดสอบความต้านทานฉนวน การทดสอบการปลดปล่อยประจุบางส่วน และการทดสอบค่าประจุบนกำลังสูญเสียของฉนวน โดยการตรวจสอบทั้งหมดที่กล่าวมาจะกระทำในขณะอุปกรณ์หรือระบบไฟฟ้าหยุดการทำงาน ต้องมีการตัดวงจรไฟฟ้า หรือปลดอุปกรณ์ออกจากระบบ จึงเป็นวิธีที่ไม่สะดวกและเสียเวลาในการดำเนินการ ดังนั้นเพื่อให้การทำงานของอุปกรณ์และระบบเป็นไปอย่างต่อเนื่อง วิธีการตรวจสอบอุปกรณ์ไฟฟ้าแรงสูงในขณะทำงาน จึงมีความเหมาะสมมากกว่า ซึ่งส่วนใหญ่ใช้วิธีการตรวจสอบสภาพของอุปกรณ์ในขณะทำงานจะอยู่บนพื้นฐานของการตรวจจับกระแสรั่วไฟฟ้า เนื่องจากขนาดและรูปคลื่นขององค์ประกอบกระแทกกระแสรั่วไฟฟ้าซึ่งความต้านทานจะขึ้นกับลักษณะการเสื่อมสภาพฉนวน ดังนั้นกระแสรั่วไฟฟ้าจะชี้แจงความต้านทานซึ่งถือเป็นพารามิตเตอร์สำคัญที่ใช้ในการประเมินระดับความเสี่ยหายนของอุปกรณ์ไฟฟ้าแรงสูง

คำสำคัญ: อุปกรณ์ไฟฟ้าแรงสูง ความเสื่อมสภาพ กระแสรั่วไฟฟ้า ชี้แจงความต้านทาน

Abstract

Due to the fact that stability and reliability of the power system are important, the high voltage equipment installed in the generation and transmission systems have to work correctly. Thus, the monitoring of deterioration and degradation of these devices are necessary. There are many methods to investigate the condition of the equipment for example, surge test, insulation resistance test, partial discharge test, capacitance and dissipation factor test, and etc. Normally, tested equipment is inspected in offline condition that means it must be disconnected from the system. These methods are inconvenience and time consuming. In order to improve the implementation process and collect data, the online condition monitoring is proposed. Most online methods are based on measuring of leakage current. The value and waveform of leakage current, especially a resistive component, depend on the deterioration of insulating materials. Therefore, the resistive leakage current is an importance parameter used to assess the degradation of the high voltage equipment.

Keywords: High voltage equipment, Deterioration and degradation, Resistive leakage current

1. บทนำ

ระบบการส่งจ่ายกำลังไฟฟ้า ประกอบไปด้วย อุปกรณ์ทางไฟฟ้าหลายชนิด เพื่อใช้ควบคุมและป้องกัน ให้การส่งจ่ายพลังงานไฟฟ้ามีเสถียรภาพ และความ น่าเชื่อถือ ยกตัวอย่าง เช่น เซอร์คิตเบรคเกอร์ ทำหน้าที่ ป้องกันการใช้ไฟฟ้าเกินพิกัด และป้องกันกระแสลัดวงจร ลูกด้วยจำนวน ทำหน้าที่รองรับสายไฟและแยกส่วน ระหว่างส่วนนำไฟฟ้าและส่วนที่ต่อลงดิน กับดักฟ้าผ่า ทำหน้าที่ป้องกันแรงดันเกิน เป็นต้น หากอุปกรณ์เหล่านี้ เกิดการเสื่อมสภาพหรือชำรุดเสียหายเนื่องมาจากการ รับแรงดันและกระแสแล่มค่าสูงเกินกว่าพิกัด การเกิดคราบ สิ่งสกปรกบนพื้นผิว หรือการรับแรงทางกล ทำให้การ ส่งจ่ายกำลังไฟฟ้าต้องหยุดชะงักเกิดไฟฟ้าดับเป็นบริเวณ กว้าง ส่งผลให้ความน่าเชื่อถือและเสถียรภาพของระบบ ส่งจ่ายพลังงานไฟฟ้าลดลง เพื่อเป็นการลดและแก้ปัญหา ที่ได้กล่าวมาข้างต้น จึงควรมีการตรวจสอบคุณสมบัติ ของอุปกรณ์ไฟฟ้าแรงสูงที่ติดตั้งอยู่ในระบบ หากพบว่า เกิดการชำรุดหรือเสื่อมสภาพ ต้องมีการซ่อมบำรุง รักษาหรือเปลี่ยนออก เพื่อให้การส่งจ่ายกำลังไฟฟ้า มีประสิทธิภาพสูงสุด

การตรวจสอบและประเมินสภาพของอุปกรณ์ ไฟฟ้าแรงสูงมีหลายวิธี ซึ่งโดยทั่วไปจะเป็นการตรวจ สอบ ในขณะอุปกรณ์ดังกล่าวหรือระบบไฟฟ้าหยุด การทำงาน ยกตัวอย่าง เช่น การทดสอบแรงดันเริ่จ การ ทดสอบความต้านทานฉนวน การทดสอบการปลดปล่อย ประจุบางส่วน และการทดสอบค่าประเคนกำลังสูญเสีย ของฉนวน เป็นต้น ซึ่งเป็นวิธีที่ไม่สะดวก เนื่องจากต้อง ทำการดับไฟ มีการติดต่อประสานงานระหว่างผู้ดำเนินการ และผู้ใช้ไฟฟ้า และใช้เวลาในการทำการทดสอบแต่ละ ครั้ง ดังนั้นการตรวจวัดและประเมินในขณะที่อุปกรณ์ ไฟฟ้าแรงสูงยังทำงาน จึงมีความหมายมากกว่า ซึ่ง โดยส่วนใหญ่แล้วจะอยู่บนพื้นฐานของการตรวจวัด กระแสรั่วไฟฟ้าที่ไฟลุบบนวัสดุฉนวนของอุปกรณ์ไฟฟ้า แรงสูง

เนื่องจากวัสดุฉนวนที่ใช้ในอุปกรณ์ไฟฟ้าและ ระบบไฟฟ้าแรงสูงไม่ได้เป็นฉนวนที่สมบูรณ์ เมื่อป้อน แรงดันไฟฟ้าให้กับฉนวน จะเกิดกระแสไฟฟ้าผ่านพิวหรือ

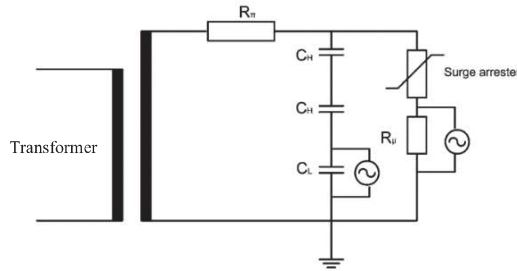
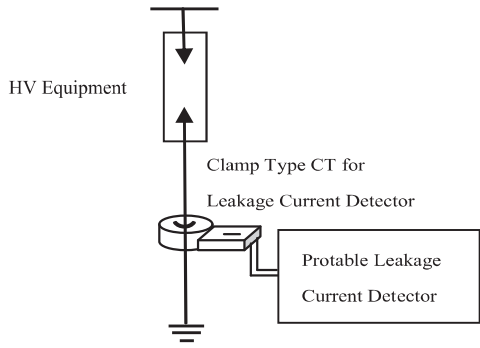
เนื้อของฉนวน ซึ่งกระแสที่ไฟลุบจะประกอบด้วยกระแส รั่วไฟลุบเชิงความต้านทาน และกระแสรั่วไฟลุบเชิงตัวเก็บ ประจุ โดยปกติกระแสดังกล่าวจะมีปริมาณน้อยมาก มีค่า เป็นไมโครแอมป์ไม่ส่งผลต่อการทำงานของอุปกรณ์และ ระบบไฟฟ้าในสภาพปกติ แต่อาจทำให้เกิดอันตรายกับ คนได้ถ้าไปสัมผัสกับบริเวณที่เกิดการรั่วไฟลุบของกระแส ไฟฟ้า

การเปลี่ยนแปลงของขนาดกระแสรั่วไฟลุบ ในส่วน ของกระแสรั่วไฟลุบเชิงความต้านทาน ที่เกิดขึ้นในอุปกรณ์ ไฟฟ้าแรงสูงเกิดจากปัจจัยหลายประการ เช่น การแตกตัว ของพิวฉนวนเนื่องมาจากการทำงานของอุปกรณ์ มีการเปลี่ยนแปลงอุณหภูมิ และความชื้นสูง การเกิด การวางไฟตามพิวฉนวน เนื่องมาจากสิ่งสกปรกหรือ สิ่งประปะอื่น และการแตกหักของเนื้อฉนวนเนื่องมา จากการรับแรงทางกลที่เกินพิกัดเป็นเวลานาน เป็นต้น ซึ่งทำให้ความต้านทานของฉนวนมีค่าลดลง กระแส รั่วไฟลุบมีขนาดเพิ่มขึ้น อุณหภูมิขณะทำงานหรือความร้อน สะสมของอุปกรณ์ไฟฟ้าเมื่อค่าสูงขึ้น ส่งผลให้อาจการ ใช้งานของอุปกรณ์สั้นลงโดยเฉพาะในกรณีที่เกิดการ ปลดปล่อยประจุบางส่วน จะทำให้เกิดสัญญาณความดัน สูงผ่านร่องไปยังเครื่องประมวลผล ต่อไปนี้ [1]

จากที่กล่าวมาในข้างต้น จะเห็นว่าขนาดกระแส รั่วไฟลุบเชิงความต้านทาน จะเปรียบเทียบกับการเสื่อมสภาพ ของวัสดุฉนวน ดังนั้นการตรวจสอบรั่วไฟลุบเชิงความต้านทาน จึงถือเป็นพารามิเตอร์สำคัญที่ใช้ในการประเมินระดับ ความเสียหายของอุปกรณ์ที่ติดตั้งใช้งานในระบบไฟฟ้า แรงสูง

2. การวัดกระแสรั่วไฟลุบ

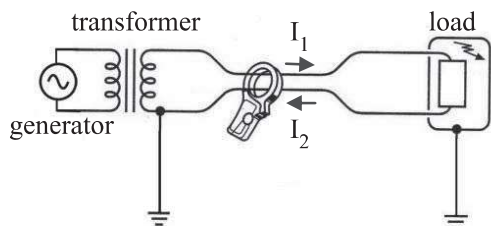
การวัดกระแสรั่วไฟลุบมีอยู่หลายวิธี ยกตัวอย่าง เช่น การใช้มิเตอร์กระแส หรือมือแปลงกระแส วิธีนี้ จะทำการวัดกระแสที่ไฟลุบผ่านสายดินลงสู่พื้นดิน โดย ทำการคล้องมิเตอร์กระแสหรือมือแปลงกระแสเข้ากับ สายดินโดยตรง และอ่านค่ากระแสรั่วไฟลุบ ดังแสดงใน รูปที่ 1



รูปที่ 3 วัสดุกระแสรั่วไฟล์ผ่านความด้านทานชั้นที่ (R_μ) [3]

รูปที่ 1 การวัดกระแสรั่วไฟล์โดยใช้หม้อแปลงกระแส [2]

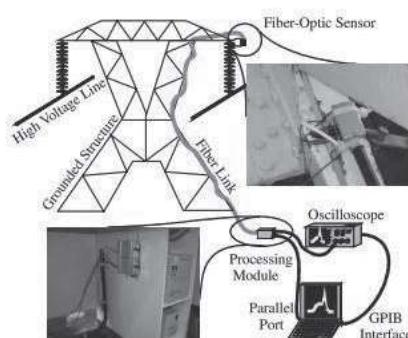
หรือทำการวัดค่ากระแสไฟฟ้าที่เข้าและออกอุปกรณ์ไฟฟ้า โดยคลื่นวิทยุกระแสเข้ากับสายไฟเดินที่กระแสไฟล์เข้าและไฟล์ออกจากอุปกรณ์ ดังแสดงในรูปที่ 2 ในสภาวะปกติกระแสที่เข้า I_1 และกระแสที่ออก I_2 จะมีค่าเท่ากัน ทำให้ผลต่างของกระแสเมินเป็นศูนย์ กระแสที่อ่านได้จากมิเตอร์จะมีค่าเท่ากับศูนย์ เมื่อมีกระแสรั่วไฟล์เกิดขึ้นจะทำให้กระแส I_1 และกระแส I_2 มีค่าไม่เท่ากัน มิเตอร์จะนำผลต่างที่เกิดขึ้นนี้มาแปลงเป็นค่าที่สามารถอ่านได้ ซึ่งมีค่าเท่ากับกระแสรั่วไฟล์



รูปที่ 2 การวัดกระแสรั่วไฟล์โดยใช้มิเตอร์วัดความต่างของกระแสไฟล์เข้าและกระแสไฟล์ออกอุปกรณ์ไฟฟ้า

วิธีการวัดกระแสรั่วไฟล์โดยใช้ความด้านทานชั้นที่ โดยมีวิธีการวัดแสดงดังในรูปที่ 3

จากรูปที่ 3 ทำการป้อนแรงดันให้กับอุปกรณ์ที่จะทำการทดสอบ จากนั้นทำการวัดค่าแรงดันผ่านอุปกรณ์ลดตอนแรงดัน (C_H , C_L) และความด้านทานชั้นที่ (R_μ) ตามลำดับ เมื่อ R_μ เป็นความด้านทานจำกัดกระแส โดยกระแสรั่วไฟล์ได้จากการถูกของโอล์ฟ คือ นำแรงดันที่ตกคร่อมความด้านทานชั้นที่หารด้วยค่าความด้านทานชั้นที่ ซึ่งวิธีนี้เป็นวิธีวัดค่ากระแสที่นิยมใช้ในห้องปฏิบัติการเนื่องจากสามารถควบคุมค่าพารามิเตอร์ต่างๆ ในวงจรทดสอบได้ แต่อย่างไรก็ตาม การวัดกระแสรั่วไฟล์ด้วยวิธีนี้ต้องมีการปลดอุปกรณ์ออกจากระบบเพื่อตรวจสอบอุปกรณ์เพื่อเป็นการลดข้อจำกัดดังกล่าว จึงมีการพัฒนาระบบการวัดกระแสรั่วไฟล์ในขณะที่อุปกรณ์ไฟฟ้ายังคงทำงาน โดยใช้ Fiber Optic Sensor ซึ่งจะถูกติดตั้งไว้กับอุปกรณ์ที่ต้องการตรวจวัด เช่น บริเวณส่วนปลายของพวงลูกฟักขลุกวนที่ยึดติดกับโครงสร้างไฟฟ้าตั้งแสดงในรูปที่ 4

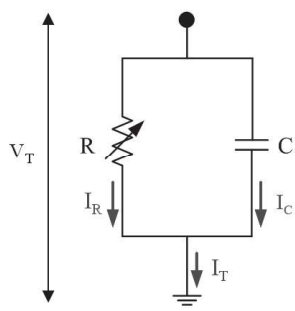


รูปที่ 4 การใช้ Fiber Optic Sensor ตรวจจับกระแสรั่วไฟล์ [4]

จากรูปที่ 4 Fiber Optic Sensor จะทำการตรวจและส่งสัญญาณกระแสรั่วไฟฟ้าผ่านสายใยแก้วเพื่อทำการวิเคราะห์ และแสดงผลการตรวจวัดบนหน้าจอคอมพิวเตอร์ และ Oscilloscope

3. แบบจำลองของจำนวนไฟฟ้าแรงสูง

โดยทั่วไปแบบจำลองของจำนวนไฟฟ้าแรงสูงประกอบด้วยความต้านทาน (R) และตัวเก็บประจุ (C) ต่อขานานกัน ดังแสดงในรูปที่ 5



รูปที่ 5 แบบจำลองของจำนวนไฟฟ้าแรงสูง [5]

จากรูปที่ 5 กระแสรั่วไฟฟ้า (I_T) ที่ไหลผ่านจำนวนไฟฟ้าสามารถแบ่งออกเป็น 2 ส่วน คือ กระแสที่ไหลผ่านองค์ประกอบความต้านทาน (I_R) และกระแสที่ไหลผ่านองค์ประกอบค่าเก็บประจุ (I_C) ดังแสดงในสมการที่ (1)

$$I_T = I_R + I_C \quad (1)$$

4. การวิเคราะห์กระแสรั่วไฟฟ้า

จากการศึกษางานวิจัยและเอกสารอ้างอิงต่างๆ ที่เกี่ยวข้องกับการวิเคราะห์กระแสรั่วไฟฟ้าที่เกิดขึ้นบนอุปกรณ์ไฟฟ้าแรงสูง สามารถแบ่งวิธีการวิเคราะห์กระแสรั่วไฟลออกได้เป็น 3 วิธี [6,7]

4.1 Improve Compensate Method

ทำการวิเคราะห์กระแสรั่วไฟฟ้าที่ไหลผ่านอุปกรณ์ไฟฟ้าแรงสูง โดยอ้างอิงแบบจำลองในรูปที่ 5 ข้อมูลสัญญาณแรงดัน (V_T) และกระแสรั่วไฟฟ้า (I_T) จะถูกวิเคราะห์และแยกองค์ประกอบเป็นสัญญาณที่ความถี่ต่างๆ ดังสมการที่ (2) และ (3) ตามลำดับ

$$V_T(t) = V_0 + \sum_{n=1}^{\infty} V_n \sin(n\omega t + \alpha_n) \quad (2)$$

$$i_T(t) = I_0 + \sum_{n=1}^{\infty} I_n \sin(n\omega t + \beta_n) \quad (3)$$

เมื่อ V_0 คือ องค์ประกอบแรงดันกระแสตรง

I_0 คือ องค์ประกอบกระแสตรงของกระแสรั่วไฟฟ้า

V_n คือ แรงดันค่าไซด์ของสารมอนิกลำดับที่ n

I_n คือ กระแสค่าไซด์จากสารมอนิกลำดับที่ n

α_n คือ มุมไฟฟ้าของแรงดันของสารมอนิกลำดับที่ n

β_n คือ มุมไฟฟ้าของกระแสจากสารมอนิกลำดับที่ n

ω คือ ความถี่เชิงมุมของระบบไฟฟ้า

กระแสรั่วไฟฟ้าชิงความต้านทานที่ลำดับสารมอนิกต่างๆ หาได้จากสมการที่ (4)

$$i_{R,n}(t) = i_{T,n}(t) - G_n V_{sf,n}(t) \quad (4)$$

โดยที่ G_n เป็นค่าสัมประสิทธิ์ชดเชยสารมอนิกลำดับที่ n ซึ่งสามารถหาได้จากสมการที่ (5)

$$\int_0^T [V_{sf,n}(t) \times (I_{T,n}(t) - G_n V_{sf,n}(t))] dt = 0 \quad (5)$$

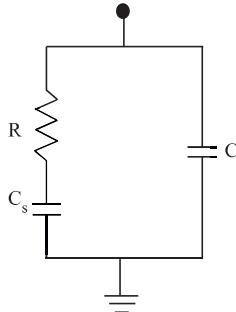
เมื่อ $V_{sf,n}(t)$ คือ แรงดันสารมอนิกลำดับที่ n ที่เลื่อนไฟฟ้าไปข้างหน้า 90 องศา

$I_{T,n}(t)$ คือ กระแสรั่วไฟฟ้าของสารมอนิกลำดับที่ n

$i_{R,n}(t)$ คือ กระแสรั่วไฟฟ้าชิงความต้านทานสารมอนิกลำดับที่ n

4.2 Accurate Model Analysis Method

การวิเคราะห์กระแสรั่วไฟฟ้าด้วยวิธี Accurate Model Analysis Method จะใช้วงจรสมมูลของจำนวนไฟฟ้าแรงสูงที่มีการปรับปรุง แสดงดังรูปที่ 6 โดยเพิ่มตัวเก็บประจุซุ่ม (series compensate capacitance) ต่ออุปกรณ์กับความต้านทานแบบไม่เชิงเส้น (non-linear resistance) เพื่อทำให้กระแสรั่วไฟฟ้าที่ได้จากแบบจำลองมีลักษณะคล้ายกับกระแสรั่วไฟฟ้าที่เกิดขึ้นข้างบนอุปกรณ์ไฟฟ้าแรงสูงมากขึ้น



รูปที่ 6 แบบจำลองของค่านวนไฟฟ้าแรงสูงที่มีการปรับปรุง

จากแบบจำลองในรูปที่ 6 กระแสรั่วไฟล์รวมจะมีค่าเท่ากัน

$$I_T(t) = I_R(t) + C \frac{dV_T(t)}{dt} \quad (6)$$

โดยสามารถหาค่ากระแสรั่วไฟล์เชิงความต้านทาน I_R ได้จากสมการที่ (7)

$$I_R(t) = I_{c_s}(t) = I_T(t) - C \frac{dV_T(t)}{dt} \quad (7)$$

4.3 Modified Time Shifted Method

ทำการวิเคราะห์กระแสรั่วไฟล์โดยใช้แบบจำลองค่านวนเช่นเดียวกับวิธี Improve Compensate Method ทำการหาค่ากระแสรั่วไฟล์เชิงความต้านทานได้จาก การนำกระแสรั่วไฟล์ทั้งหมดลบด้วยกระแสรั่วไฟล์เชิงตัวเก็บประจุ ซึ่งกระแสรั่วไฟล์เชิงตัวเก็บประจุได้มาจากการวิเคราะห์ข้อมูลกระแสรั่วไฟล์รวมกับไฟล์รวมที่ทำการเลื่อนเวลาไปข้างหน้าหนึ่งในสี่คาน ดังแสดงในสมการที่ (8)

$$I_S = I_T + I_T\left(t - \frac{T}{4}\right) \quad (8)$$

ทำการหาเวลาค่าอยอดของกระแสรั่วไฟล์เชิงตัวเก็บประจุ ดังสมการที่ (9)

$$t_{C_{peak}} = t_{R_{peak}} - \frac{T}{4} \quad (9)$$

เมื่อ $t_{R_{peak}}$ คือ เวลาค่าอยอดของกระแสรั่วไฟล์เชิงความต้านทานที่ได้จากสมการที่ (8) จากนั้นทำการจำลองคลื่นกระแสรั่วเชิงตัวเก็บประจุ โดยใช้สมการที่ (10)

$$I_C = I_{C_{peak}} \cos(2\pi ft) \quad (10)$$

และการคำนวนหากระแสรั่วไฟล์เชิงความต้านทาน จากสมการ

$$I_R(t) = I_T(t) - I_C(t) \quad (11)$$

ในปัจจุบันได้มีการนำหลักการทั้ง 3 วิธี ไปใช้ในการพัฒนาโปรแกรมการวัดและวิเคราะห์กระแสรั่วไฟล์ โดยอาศัยซอฟแวร์สำเร็จรูปต่างๆ ที่มีใช้กันทั่วไปในงานด้านวิศวกรรม เช่น Matlab, C++, python และ Labview ซึ่งสามารถนำไปต่อยอดพัฒนาเป็นอุปกรณ์หรือระบบตรวจกระแสรั่วไฟล์ที่มีขนาดเล็กลงหรือพกพาได้ [8] ทำให้สามารถลดข้อจำกัดในการทำงานและซ่อมบำรุงอุปกรณ์ในการส่งจ่ายกำลังไฟฟ้าได้ในอนาคต

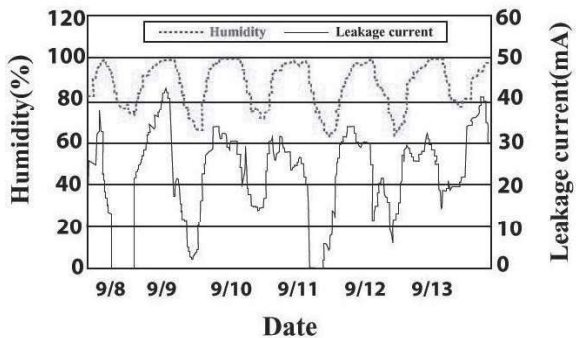
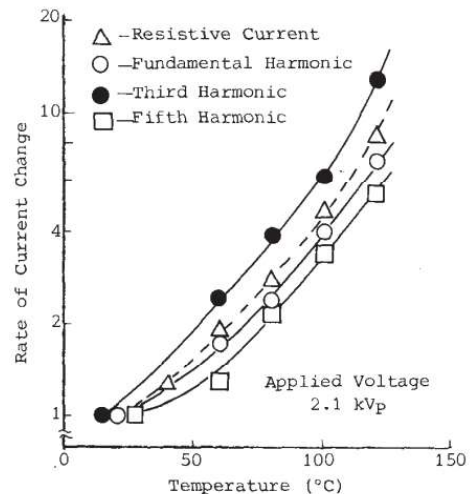
5. การตรวจสอบความเสื่อมสภาพของอุปกรณ์โดยใช้กระแสรั่วไฟล์

จากที่ได้กล่าวมาในข้างต้น ความเสียหายหรือการเสื่อมสภาพของวัสดุคนงาน สามารถตรวจสอบได้จากกระแสรั่วไฟล์เชิงความต้านทาน ซึ่งการเปลี่ยนแปลงของกระแสรั่วไฟล์เชิงความต้านทาน เช่น ขนาดและองค์ประกอบความถี่ต่างๆ จะมีความสัมพันธ์กับปัจจัยต่างๆ อันได้แก่

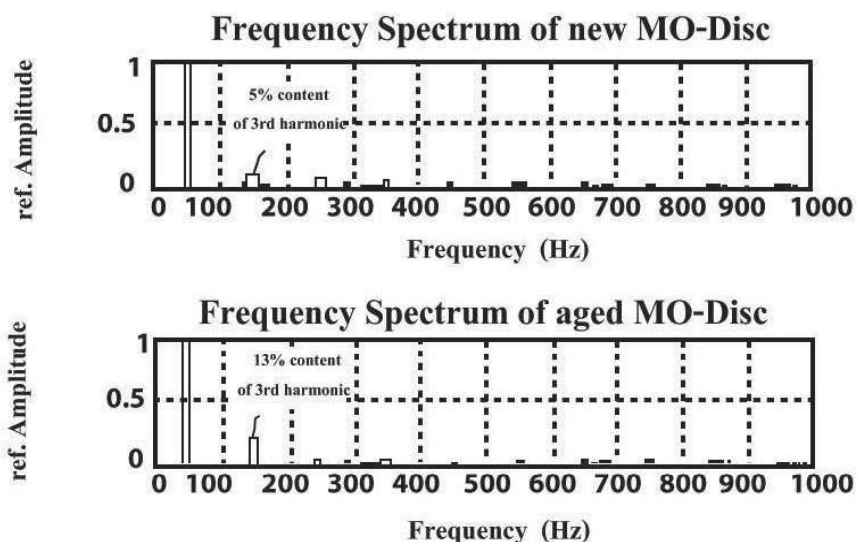
- สิ่งประปลดปล่อย กรณีที่มีผง ฝุ่นละออง หรือเศษทราย มากจะผิดคนงาน หรือมีความชื้นเข้าไปในอุปกรณ์ไฟฟ้า จะทำให้ค่าความต้านทานคนงานต่ำลง ส่งผลให้ค่ากระแสรั่วไฟล์เชิงความต้านทานมีค่าเพิ่มมากขึ้น ทำให้กระแสรั่วไฟล์รวมมีค่ามากขึ้น ดังแสดงในรูปที่ 7 โดยทั่วไปจะมีมาตรฐานกำหนดค่ากระแสรั่วไฟล์เชิงความต้านทานของอุปกรณ์ไฟฟ้าภาวะปกติความมีค่าไม่เกินเท่าไร ตัวอย่างเช่น กับดักฟ้าผ่า มาตรฐาน IEC 60099-5 กำหนดให้ค่ากระแสรั่วไฟล์เชิงความต้านทานควรมีค่าไม่เกิน 600 μA เป็นต้น [9]

- อุณหภูมิหรือความร้อนที่เกิดขึ้นในวัสดุคนงานก็ถือเป็นอีกปัจจัยหนึ่งที่ส่งผลต่อประสิทธิภาพการทำงานของอุปกรณ์ ซึ่งสามารถพิจารณาจากองค์ประกอบความลึกของกระแสรั่วไฟล์ โดยองค์ประกอบความถี่

ของกระแสรั่วไฟล์ที่นำมาพิจารณาส่วนใหญ่ คือองค์ประกอบความถี่ที่ 1, 3, 5, 7 และ 9 6 ซึ่งค่ากระแสรั่วไฟล์เชิงความด้านทานองค์ประกอบความถี่ที่ 3 จะมีค่าเปลี่ยนแปลงอย่างชัดเจนเมื่ออุณหภูมิเพิ่มสูงขึ้น โดยตัวอย่างความสัมพันธ์ระหว่างการเพิ่มน้ำของกระแสรั่วไฟล์กับอุณหภูมิของวัสดุฉนวน แสดงดังรูปที่ 8 จะเห็นได้ว่าเมื่ออุณหภูมิของฉนวนเพิ่มสูงขึ้นค่ากระแสรั่วไฟล์เชิงความด้านทานองค์ประกอบความถี่ที่ 3 มีอัตราการเพิ่มน้ำสูงที่สุดเมื่อเทียบกับกระแสรั่วไฟล์เชิงความด้านทานที่องค์ประกอบความถี่อื่น



รูปที่ 7 ความสัมพันธ์ของกระแสรั่วไฟกับฉนวนพอร์เช่นและความชื้น [10]



รูปที่ 9 กระแสรั่วไฟขององค์ประกอบความถี่ที่ 3 ของกับดักฟ้าผ่าใหม่และกับดักฟ้าผ่าที่ผ่านการใช้งาน [11]

นอกจากนี้ จากผลการศึกษาในกรณีกับดักฟ้าผ่าที่ผ่านการใช้งานพบว่ากระแสรั่วไฟ lodong ที่ประกอบความถี่ที่ 3 มีค่าเพิ่มขึ้น จากรูปที่ 9 จะเห็นได้ว่ากระแสรั่วไฟ lodong ที่ประกอบความถี่ที่ 3 ของกับดักฟ้าผ่าที่ผ่านการใช้งานเพิ่มจาก 5% เป็น 13% ทำให้สามารถสรุปได้ว่า ความเสื่อมสภาพของกับดักฟ้าผ่าสามารถพิจารณาได้จากองค์ประกอบของชาร์มอนิกที่ 3 ของกระแสรั่วไฟ lodong

จากความสัมพันธ์ที่มีอยู่ที่ก่อตัวมาข้างต้น จะเห็นได้ว่านำดและองค์ประกอบของกระแสรั่วไฟ lodong ความถี่ต้านทานจะเปลี่ยนแปลงจากปัจจัยหลายปัจจัย ทั้งสิ่งแปรอห์เมื่อน ผุนละออง ความชื้น อุณหภูมิ หรืออายุการใช้งานของอุปกรณ์ ดังนั้น หากสามารถตรวจสอบแยกองค์ประกอบและวิเคราะห์กระแสรั่วไฟ lodong เชิงความต้านทานได้อย่างต่อเนื่อง (On-line monitored) ในขณะที่อุปกรณ์ยังติดตั้งและทำงานอยู่ในระบบไฟฟ้า จะทำให้เกิดความสะดวกต่อผู้ใช้และผู้ดูแลระบบไฟฟ้า อีกทั้งยังสามารถนำข้อมูลที่ได้จากการบันทึก และวิเคราะห์ ไปใช้เป็นแนวทางในการวางแผนซ่อมบำรุงรักษา เพื่อให้อุปกรณ์ไฟฟ้าแรงสูงที่ติดตั้งในระบบไฟฟ้ากำลังร่วมถึงระบบส่งจ่ายไฟฟ้ากำลัง ทำงานได้อย่างถูกต้องและมีความน่าเชื่อถือมากขึ้น

6. เอกสารอ้างอิง

- [1] Muhammad A, Salman A, Muhammad A. Monitoring of Leakage Current for Composite Insulators and Electrical Devices, Advanced Materials Science Russian Academy of Advanced Materials Science Russia 2009; 21.
- [2] Shirakawa S, Endo, F, Kitajima H, Kobayashi, S, Kurita K, Goto K, Sakai M. Maintenance of Surge Arrester by a Portable Arrester Leakage Current Detector, IEEE Transactions on Power Delivery 1988; 3(3).
- [3] Christodoulou CA, Avgerinos MV, Ekonomou, L, Gonos I.F, Stathopoulos I.A. Measurement of the Resistive Leakage Current in Surge Arresters under Artificial Rain Test and Impulse Voltage Subjection, IET Science, Measurement and Technology, 2009; 3(3)256–62.
- [4] Oliveira SC, Fontana, E, Cavalcanti FJM, Real Time Monitoring of the Leakage Current of 230 kV Insulator Strings under Washing, IEEE/PES T&D Conference and Exposition 2008.
- [5] Samruay S, High Voltage Engineering, 2nd, 2004 (In Thai).
- [6] Xianglian Y, Yuanfang W, Xiaoyu Y. Study on the Resistive Leakage Current Characteristic of MOV Surge Arresters, Asia Pacific. IEEE/PES Transmission and Distribution Conference and Exhibition, 2002; 2: 683-7.
- [7] Abdul-Malek Z, Novizon, Aulia. A New Method to Extract the Resistive Component of the Metal Oxide Surge Arrester Leakage Current , IEEE 2nd International Power and Energy Conference 2008.
- [8] Abdul-Malek Z, Novizon, Aulia. Portable Device to Extract Resistive Component of the Metal oxide Surge Arrester Leakage Current, Australasian Universities Power Engineering Conference 2008.
- [9] IEC Standard No. 60099-5, Surge Arresters – Part 5: Selection and Application Recommendations.
- [10] Hiroya H, Toshiyuki, K, Ryuichi I, Takeshi T. Comparison of Leakage Current Properties between Polymeric Insulators and Porcelain Insulators under Salt Polluted Conditions, International Symposium on Electrical Insulating Materials 2005.
- [11] Klein T, Kohler W, Few K, Schmidt, W, Bebensee R. A New Monitoring System for Metal Oxide Surge Arresters High Voltage Engineering Symposium 1999.

ตัวอย่างการจัดพิมพ์เอกสารต้นฉบับสำหรับตีพิมพ์ใน
วิชากรรมสารธรรมศาสตร์ มหาวิทยาลัยธรรมศาสตร์

ชื่อบทความภาษาไทย Angsana New (ขนาด 18 จุด ตัวเข้ม)
ชื่อบทความภาษาอังกฤษ Angsana New(ขนาด 16 จุด ตัวเข้ม)

มาลี สันติกุณภรณ์¹⁾ และ พินัย ทองสวัสดิ์วงศ์*²⁾ (ขนาด 14 จุด)
Malee Santikunaporn¹⁾ and Pinai Thongsawatwong²⁾

¹⁾ภาควิชาวิชากรรมเคมี มหาวิทยาลัยธรรมศาสตร์ จังหวัดปทุมธานี 12121 (ขนาด 12 จุด)

²⁾ภาควิชาวิชากรรมเครื่องกล มหาวิทยาลัยธรรมศาสตร์ จังหวัดปทุมธานี 12121

บทคัดย่อ

ตัวอย่างการจัดพิมพ์เอกสารต้นฉบับสำหรับตีพิมพ์ในวิชากรรมสารธรรมศาสตร์ มหาวิทยาลัยธรรมศาสตร์ ควรปฏิบัติตามคำแนะนำอย่างเคร่งครัด บทคัดย่อควรมีเพียงชื่อหน้าเดียวที่อธิบายถึง วัตถุประสงค์ วิธีการศึกษา ผลการศึกษา และสรุป ไม่ควรเกิน 300 คำ คำหลักที่เป็นภาษาอังกฤษให้ตัวอักษรคำแรกเป็นตัว พิมพ์ใหญ่ คำในคำคั่นถัดไปเป็นตัวพิมพ์เล็ก

คำสำคัญ: จำนวน 4 ถึง 6 คำ ภาษาไทยแต่ละคำเว้นวรรค 1 จุด ไม่ต้องมีจุลภาค (,)

Abstract

This is an instruction for manuscript preparation a publication in Thammasat Engineering Journal. Please follow this guideline strictly. The abstract should contain a single paragraph describing objectives, methodology and a summary of important results and its length should not exceed 300 words.

Keywords: 4-6 keywords, separated by colons.

1. บทนำ

บทความนี้แสดงตัวอย่างแนวทางการเตรียมต้นฉบับเพื่อตีพิมพ์ในวิศวกรรมสารธรรมศาสตร์ มหาวิทยาลัยธรรมศาสตร์ และโปรดปรាសีบิติตามหลักเกณฑ์ที่อย่างเคร่งครัด จัดพิมพ์ด้วยโปรแกรม Microsoft Word ความยาวของต้นฉบับจะต้องไม่เกิน 10 หน้า มีจำนวนคำไม่เกิน 10,000 คำ

1.1 ขนาดกระดาษและระยะขอบ

กรุณาใช้กระดาษขนาด A4 ปรับเค้าโครงขนาดกระดาษ ความกว้าง 7.5 นิ้ว ความสูง 10.5 นิ้ว และรูปแบบหน้าเป็น 2 คอลัมน์ ระยะห่าง 0.19 นิ้ว กรอบของบทความกำหนดดังนี้ ขอบด้านบน 0.88 นิ้ว ขอบด้านล่าง 0.75 นิ้ว ด้านซ้าย 1 นิ้ว และด้านขวา 0.75 นิ้ว ให้เว้น 1 บรรทัดระหว่างหัวเรื่องทุกริ้ว ให้เป็นไปตามรูปแบบของวิศวกรรมสาร มหาวิทยาลัย ธรรมศาสตร์ สามารถโหลดรูปแบบได้ที่

<http://www.engr.tu.ac.th/enjournal/>

1.2 ชนิดตัวอักษร

ในบทความฉบับภาษาไทยและภาษาอังกฤษจะต้องใช้ตัวอักษร Angsana New ทั้งหมด ชื่อบทความใช้ตัวอักษรขนาด 16 จุด ตัวหนา ผู้แต่งใช้ตัวอักษรธรรมดาวขนาด 14 จุด สถาบันและข้อมูลติดต่อใช้ตัวธรรมดาวขนาด 12 จุด หัวเรื่องและหัวเรื่องย่อยใช้ตัวธรรมดาวขนาด 14 จุด การบรรยายและเนื้อหาใช้ตัวธรรมดาวขนาด 14 จุด คำในวงเล็บที่เป็นภาษาอังกฤษให้เป็นตัวเล็กทั้งหมด

1.3 สำหรับการลำดับหัวข้อย่อ

ให้ใช้ตัวอักษรขนาด 14 จุด ใช้ตัวอักษร ให้ชิดทางกรอบซ้าย แต่ละหัวข้อย่อจะเว้น 1 บรรทัด (ปรับให้บรรทัดมีขนาดเท่ากันอักษรขนาด 8 จุด) ส่วนหัวข้อย่อยให้เขียนตามตัวอย่าง ดังรายการต่อไปนี้

1. รายการแรกในรายการนี้
2. รายการที่สอง
- 2.1 รายการย่อย
3. รายการสุดท้าย

1.4 โครงสร้างบทความ

เนื้อร่องของบทความต้องประกอบด้วยหัวข้อตามลำดับดังนี้

1. บทนำ
2. วิธีการการวิจัย
3. ผลการวิจัยและอภิปราย
4. สรุป
5. กิตติกรรมประกาศ
6. เอกสารอ้างอิง

2. ชื่อบทความ

ชื่อบทความให้เริ่มต้นบทความที่บรรทัดแรก โดยใช้ตัวอักษรขนาด 16 จุด และเป็นตัวหนา จัดชื่อบทความชิดทางกรอบซ้าย

3. ชื่อผู้แต่งและสถานที่ติดต่อ

ชื่อผู้แต่งให้พิมพ์ใต้ชื่อบทความ จัดชื่อผู้แต่งให้อยู่ชิดทางกรอบซ้าย ใช้ตัวอักษรธรรมดาวขนาด 14 จุด ในกรณีมีผู้ทำวิจัยหลายคนจากหน่วยงานต่างกันให้กำกับตัวยก^{1), 2)}ไว้หลังชื่อ สำหรับ Corresponding ให้ใส่เครื่องหมาย *กำกับไว้ท้ายชื่อ สถานที่ติดต่อ ให้พิมพ์ที่อยู่หน่วยงาน รหัสไปรษณีย์ ประเทศ พิมพ์ใต้ชื่อผู้แต่ง ใช้ตัวธรรมดาวขนาด 12 จุด จัดชิดทางกรอบซ้าย

4. บทคัดย่อ

บทความภาษาไทยจะต้องมีบทคัดย่อภาษาไทยและภาษาอังกฤษ ให้เว้น 1 บรรทัดจากสถานที่ติดต่อ พิมพ์บทคัดย่อใต้หัวข้อ “บทคัดย่อ/Abstract” เนื้อความของบทคัดย่อไม่ควรเกิน 15 บรรทัด หรือ 300 คำ ส่วนบทความภาษาอังกฤษไม่ต้องมีบทคัดย่อภาษาไทย

5. คำสำคัญ

บทความแต่ละเรื่องควรจะมีคำสำคัญ 4-6 คำ เพื่อระบุหัวข้อสำคัญที่กล่าวถึงในบทความ ควรใส่คำสำคัญต่อจากบทคัดย่อโดยไม่ต้องเว้นบรรทัด

6. เนื้อความ

เมื่อเขียนย่อหน้าใหม่ ไม่ต้องเว้นบรรทัด เมื่อจะเริ่มต้นพิมพ์ย่อหน้าใหม่ ให้พิมพ์บทความบนด้านเดียวของกระดาษ A4

7. ผลการวิจัย

เสนอผลการวิจัยอย่างชัดเจน ตรงประเด็น ควร มี รูปภาพ หรือตารางประกอบ ซึ่งเมื่อมีรูปหรือตารางประกอบต้องระบุเชื่อมโยงในเนื้อหาบทความ การอธิบายไม่ซ้ำซ้อนกัน สำหรับการระบุหน่วยต่างๆ ใช้ภาษาไทยและใช้การอธิบายเปอร์เซ็นต์ด้วยคำว่า ร้อยละ ในกรณีที่กำหนดหน่วยเป็นภาษาอังกฤษให้ระบุแบบเดียวกันทั้งหมด

7.1 การคำนวณตัวเลข

การคำนวณตัวเลขเพื่ออ้างถึง รูปภาพ ตาราง และสมการจะต้องเป็นเลขอารบิก ทุกสมการจะต้องมีวงเล็บไว้ชิดขอบขวา ดังตัวอย่างต่อไปนี้

$$\bar{\lambda}_g = \frac{\mu}{p} \left(\frac{2kT}{m} \right)^{1/2} \quad (1)$$

ตัวอักษรในสมการให้ใช้ Times new Roman ขนาด 10 ตัวสัญลักษณ์ให้ใช้ Symbol ขนาด 10 ใช้ MathType หรือ Equation Editor ในการเขียนสมการ

7.2 รูปภาพและตาราง

รูปภาพและตารางจะต้องมีความกว้างเพียงพอที่จะลงในหนึ่ง kolom ได้ หรือในกรณีจำเป็น เพื่อการรักษารายละเอียดในภาพอาจยอมให้กว้างเต็มหน้ากระดาษ ผู้แต่งจะต้องรับผิดชอบในการจัดภาพให้อยู่ในขนาดที่กำหนดนั้น โดยสามารถอ้างอิงรายละเอียดและอ่านตัวหนังสือในภาพได้ชัดเจนโดยตัวอักษรที่ใช้อินไซร์ปจะต้องไม่ต่ำกว่าขนาด 10 รูปภาพลายเส้นจะต้องใช้เส้นหมึกสีดำวัดด้วยโปรแกรม เช่น Visio, Adobe Illustrator, Macromedia Freehand หรือโปรแกรมวาดรูปอื่นๆ ส่วนภาพถ่ายควรเป็นภาพที่มีความคมชัด

รูปภาพควรมีรายละเอียดเท่าที่จำเป็น รูปภาพทุกรูปจะต้องมีหมายเลขอและคำบรรยายภาพกำกับให้ภาพโดยให้เรียงตามลำดับที่ปรากฏ จาก รูปที่ 1, รูปที่ 2, ... พิมพ์หมายเลขอและชื่อรูปไว้ใต้รูปภาพ จะต้องกำหนดให้อยู่ตรงกลางเอกสาร ให้เว้นช่องว่าง 1 บรรทัด หลังคำบรรยายรูป รูปภาพทุกรูป และตารางทุกตารางที่ปรากฏในบทความจะต้องมีการอ้างอิงในเนื้อหา

ในกรณีที่เป็นตารางจะต้องมีคำบรรยายกำกับตารางไว้เหนือตารางโดยให้เรียงตามลำดับที่ปรากฏ จาก 1, 2, 3,... ตารางจะต้องกำหนดให้ชิดขอบซ้ายของเอกสาร ให้เว้นช่องว่าง 1 บรรทัดก่อนคำบรรยายตาราง และหลังตาราง ตามด้วยอ้างอิงตารางดังนี้

ตัวอย่างการเขียนตารางที่ 1

Redox moiety	Diluent	Method	$k_0 (s^{-1})$
R1	D1	ILIT	3.4×10^4
		CV	3.3×10^4
R2	D2	ILIT	6.0×10^4

ตัวอย่างการเขียนตารางที่ 2

x	a_r / m_r	$2\zeta_r \omega_r$
0.1	2.7470e+01	2.7483e+01
0.5	3.5352e+01	3.5360e+01

8. การอภิปรายผล

การอภิปรายผลวิจัยเพื่อให้ผู้อ่านมีความเห็นคล้ายๆ ตามเพื่อเปรียบเทียบกับผลการวิจัยของผู้อื่น เพื่อสนับสนุนทางที่จะใช้ประโยชน์ หาข้อยุติในการวิจัยบางอย่าง ฯลฯ ผลการวิจัยและการอภิปรายผลอาจนำมายืนยาวในตอนเดียวกัน

9. สรุป

สรุปประเด็นและสาระสำคัญของงานวิจัย ไม่ควรมีความยาวมากเกินไป โดยบทความของท่านควรได้รับการตรวจสอบจากผู้ร่วมเขียนทุกท่านก่อนทำการส่งบทความ

10. กิตติกรรมประกาศ

การแสดงความขอบคุณผู้ให้ทุนสนับสนุนสรุปประเด็นและสาระสำคัญของงานวิจัย ไม่ควรมีความยาวมากเกินไป

11. เอกสารอ้างอิง

การเขียนเอกสารอ้างอิงใช้ระบบแวนคูเวอร์ (vancouver style) ในกรณีที่เป็นภาษาไทย ให้เขียนเป็นภาษาอังกฤษด้วย และต่อท้ายด้วย (In Thai) ส่วนชื่อผู้แต่งให้ใช้นามสกุลขึ้นก่อนแล้วตามด้วยอักษรย่อของชื่อนั้น

11.1 การอ้างอิงในเนื้อหา

แบบการอ้างอิงเอกสารในเนื้อหาของบทความใช้ระบบตัวเลข ให้เรียงลำดับเลขตามลำดับของเอกสารที่มีการอ้างถึงในเนื้อหาและหมายเลขอ้างถึงในเนื้อเรื่องนั้นจะต้องตรงกับหมายเลขอ้างถึงที่มีการกำกับไว้ในส่วนเอกสารอ้างอิงด้วย ให้ใช้ตัวเลขอารบิกในวงเล็บต่อท้ายข้อความที่นำมาอ้างอิงในบทความ เช่น (1) หรือ (2-4, 8, 10) หากอ้างถึงลำดับผู้แต่งที่ 1 หรือ ลำดับที่ 2, 3, 4, 8, 10 โดยเรียงลำดับจากหมายเลข 1, 2, 3,... ไปจนถึงเลขที่สุดท้าย ตามการอ้างอิงการเขียนเอกสารอ้างอิง

11.2 ตัวอย่างการเขียนเอกสารอ้างอิงที่นิยมเรื่อง เอียนอ้างอิงแบบแวนคูเวอร์ และใส่อ้างอิงในท้ายเรื่องเฉพาะที่มีปรากฏในเนื้อหาบทความหรือบทความวิจัยเท่านั้น

- 1. การเขียนอ้างอิงจากหนังสือ**
(1) Murray PR, Rosenthal KS, Kobayashi GS, Pfaller MA. Medical microbiology. 4th ed. St. Louis: Mosby; 2002.
- 2. การเขียนอ้างอิงจากการสารานุกรม**
(2) Bua-art S, Saksirirat W, Kanokmedhakul S, Hiransalee A, Lekphrom R. Extraction of bioactive compounds from luminescent mushroom (*Neonothopanus nambi*) and its effect on root-knot nema-tode (*Meloidogyne incognita*). KKU Res J. 2010;15(1): 726-37. (In Thai).
- 3. การเขียนอ้างอิงจากวิทยานิพนธ์**
(3) Srisuk M. Cloning and characterization of gene insulin [MSc thesis]. Khon Kaen: Khon Kaen University; 2002. (In Thai).
- 4. การเขียนอ้างอิงจากบทความจากการประชุมวิชาการ**
(4) Bengtsson S, Solheim BG. Enforcement of data protection, privacy and security in medicalinformatics. In: Lun KC, Degoulet P, Piemme TE, Rienhoff O, editors. MEDINFO 92. Proceedings of the 7th World Congress on Medical Informatics; 1992 Sep 6-10; Geneva, Switzerland. Amsterdam: North-Holland; 1992. p. 1561-5.
- 5. การเขียนอ้างอิงจากสิทธิบัตร**
(5) Pagedas AC, inventor; Ancel Surgical R&D Inc., assignee. Flexible endoscopic grasping and cutting device and positioning tool assembly. United States patent US 20020103498. 2002 Aug 1.
- 6. บทความวารสารอิเล็กทรอนิกส์**
(6) Morse SS. Factors in the emergence of infectious diseases. Emerg Infect Dis [serial online] 1995 Jan-Mar [cited 1996 Jun 5];1(1):[24 screens]. Available from: URL: <http://www.cdc.gov/ncidod/EID/eid.htm>.

แบบฟอร์มสั่งบทความเพื่อพิจารณาลงตีพิมพ์กับวิศวกรรมสารธารมศาสตร์

วันที่ เดือน พ.ศ.

ข้าพเจ้า (นาย/นาง/นางสาว).....

ขอสั่งบทความ บทความวิจัย สาขา..... บทความวิชาการ สาขา.....
ชื่อที่บันทึกความ (ภาษาไทย)

(ภาษาอังกฤษ)

ชื่อ-นามสกุล ผู้เขียน (ภาษาไทย)

ชื่อ-นามสกุล ผู้เขียน (ภาษาอังกฤษ)

- | | |
|--------|--------|
| 1..... | 1..... |
| 2..... | 2..... |
| 3..... | 3..... |
| 4..... | 4..... |
| 5..... | 5..... |
| 6..... | 6..... |

ชื่อ-และที่อยู่ผู้เขียนที่สามารถติดต่อได้สะดวก

จังหวัด.....

รหัสไปรษณีย์..... โทรศัพท์.....

โทรศัพท์มือถือ..... โทรสาร.....

E-mail:

แนะนำผู้อ่านบทความ.....

ข้าพเจ้าขอรับรองว่าบทความนี้ เป็นผลงานของข้าพเจ้าแต่เพียงผู้เดียว
 เป็นผลงานของข้าพเจ้าและผู้ร่วมงานตามรายชื่อที่ระบุ ในบทความจริง
ข้าพเจ้าขอรับรองว่าบทความนี้ไม่เคยลงตีพิมพ์ในวารสารใดมาก่อน และจะไม่นำบทความดังกล่าวลงตีพิมพ์ในวารสารฉบับอื่น ทั้งนี้ หากข้าพเจ้าขอก่อนบทความและไม่ลงตีพิมพ์ในวารสารวิศวกรรมสารธารมศาสตร์ หรืออพิกเบย์ไม่สั่งบทความฉบับแก้ไขเพื่อลองตีพิมพ์ข้าพเจ้าจะเป็นผู้รับผิดชอบค่าตอบแทนผู้ทรงคุณวุฒิผู้ประเมินบทความทั้งหมด

ลงนาม.....

(.....)

**รายงานผู้ทรงคุณวุฒิผู้พิจารณาทบทวน
วิศวกรรมสารธรรมศาสตร์ ปีที่ 3 ฉบับที่ 2 (กรกฎาคม – ธันวาคม 2558)**

- | | |
|---------------------------------|--|
| 1. ผศ.ดร.ณัฐพล ภูมิສาด | สาขาวิศวกรรมเครื่องกล คณะวิศวกรรมศาสตร์
มหาวิทยาลัยมหาสารคาม |
| 2. รศ.ดร.นุญไชย สถิตมั่นในธรรม | ภาควิชาวิศวกรรมโยธา คณะวิศวกรรมศาสตร์
จุฬาลงกรณ์มหาวิทยาลัย |
| 3. รศ.ดร.ตระกูล อร่วมรักษ์ | ภาควิชาวิศวกรรมโยธา คณะวิศวกรรมศาสตร์
มหาวิทยาลัยเกษตรศาสตร์ |
| 4. อ.ดร.โศภิดา สังข์สุนทร | ภาควิชาวิศวกรรมเครื่องกล คณะวิศวกรรมศาสตร์
มหาวิทยาลัยเทคโนโลยีราชมงคลรัตนโกสินทร์ |
| 5. รศ.ดร.นรเศรษฐ์ พัฒนาเดช | ภาควิชาวิศวกรรมไฟฟ้า คณะวิศวกรรมศาสตร์
สถาบันเทคโนโลยีพระจอมเกล้าเจ้าคุณทหารลาดกระบัง |
| 6. ผศ.ดร.ศุภกิจต์ ใจติโภ | ภาควิชาวิศวกรรมไฟฟ้า คณะวิศวกรรมศาสตร์
มหาวิทยาลัยเทคโนโลยีราชมงคลรัตนโกสินทร์ |
| 7. รศ.ดร.วีรยา นิมอ้อย | ภาควิชาวิศวกรรมโยธา คณะวิศวกรรมศาสตร์
มหาวิทยาลัยธรรมศาสตร์ |
| 8. ผศ.ดร.รัตนาลี นันทสาร | ภาควิชาวิศวกรรมโยธา คณะวิศวกรรมศาสตร์
มหาวิทยาลัยขอนแก่น |
| 9. ดร.สุทธิรัตน์ กิตติพงษ์วิเศษ | สถาบันวิจัยสภาพภาวะแวดล้อม
จุฬาลงกรณ์มหาวิทยาลัย |
| 10. ดร.ธีชชัย ปุณยะนาวิน | คณะวิทยาศาสตร์และเทคโนโลยี
มหาวิทยาลัยราชภัฏพระนคร |



พิมพ์ที่: โรงพิมพ์มหาวิทยาลัยธรรมศาสตร์, พ.ศ. 2559

โทรศัพท์ 0-2564-3104 ชั้น 6

โทรสาร 0-2564-3119

<http://www.thammasatprintinghouse.com>

